

УМФ  
Лекция 3  
1-й семестр – осень 2018 г  
Уравнения Хопфа и эйконала

Моргулис Андрей Борисович  
КВМиМФ, а. 214  
morgulisandrey@gmail.com

3 сентября 2018 г.

# 1-график и УрЧП 1-го порядка

Напоминание:  $D \subset \mathbb{R}^n$  – область,  $\mathcal{J} = \mathcal{J}(D) = \mathbb{R}^n \times D \times \mathbb{R} \subset \mathbb{R}^{2n+1}$  – область 1-струй,  $\pi : (p, q, z) \mapsto q$  – каноническая проекция  $\mathcal{J}(D) \rightarrow D$ .

Введём ещё проекцию  $\pi_1 : \mathcal{J}(D) \rightarrow D \times \mathbb{R}$ ,  $\pi_1 : (p, q, z) \mapsto (q, z)$ .

**Определение 1.** 1-графиком функции  $u = u(q)$ ,  $q \in D \subset \mathbb{R}^n$ , называется множество

$$\text{Gr}_1(u) = \{(p, q, z) \in \mathcal{J}(D) : z = u(q), p = \nabla u(q)\}. \quad (1)$$

$\text{Gr}_1(u)$  – образ области  $D$  при отображении

$$G_1^u : q \mapsto (\nabla u(q), q, u(q)). \quad (2)$$

Отображение (2) называют отображением 1-графика.

**Пример 1.** 1-график линейной функции одной переменной  $u(q) = kq$  – прямая в  $\mathbb{R}^3$  параметризованная отображением 1-графика  $G_1^u : q \mapsto (k, q, kq)$ . Её проекция на плоскость  $(q, z)$  вдоль оси  $p$  даёт график  $u$  – прямую  $z = kq$ .

1-график решения уравнения  $F(\nabla u, q, u) = 0$  вложен в  $2n$ -мерную «поверхность»  $\mathcal{E} \subset \mathcal{J}(D)$ , непараметрически заданную равенством  $\{F(p, q, z) = 0\}$ .

В литературе 1-график решения УрЧП порядка 1 часто рассматривается как частный случай «лежандровых многообразий» или «интегральных многообразий». Последние включают лежандровы как частный случай.

# 1-график и каноническая проекция.

Пусть  $h : D \rightarrow \mathcal{J}(D)$  отображает  $D$  на  $\Gamma = h(D)$  взаимно-однозначно. Тем не менее, образ  $\Gamma$  непредставим, вообще говоря, в виде 1-графика. Причины этого таковы.

Необходимо, чтобы отображение  $\pi : \Gamma \rightarrow D$  было взаимно-однозначным (см. рис 1). В таком случае определена функция  $u = u(q)$ , такая, что  $z = u(q)$  всюду на  $\Gamma$ ; именно,

$$u(q) = z(\pi^{-1}(q)), \quad q \in D, \quad \pi^{-1}(q) \in \Gamma. \quad (3)$$

Тогда  $\Gamma = \{(p, q, z) : z = u(q)\}$ , и проекция  $\pi_1 \Gamma = \{(q, u(q))\}$  – график  $u$ .

Одного этого недостаточно, чтобы  $\Gamma = \text{Gr}_1(u)$ . Необходимо ещё, чтобы

$$\forall (p, q, z) \in \Gamma \quad p = \nabla u(q) \text{ где } u \text{ – функция (3)}. \quad (4)$$

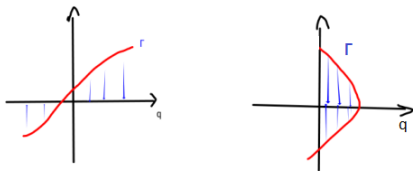


Рис. : 1. Слева – проекция кривой на ось  $q$  однозначна, справа – нет

# Примеры 1-графиков и не 1-графиков.

**Пример 2.**  $n = 1$ ,  $h : q \mapsto (q, 0, q)$ .  $\Gamma = h(D)$  – биссектриса угла  $\widehat{p\bar{z}}$ ,  $\pi(\Gamma) = \{0\}$ , так что  $\Gamma$  не представима в виде 1-графика какой-либо функции  $u = u(q)$ , и проекция  $\pi_1\Gamma$  не представима в виде графика какой-либо функции  $u = u(q)$ .

**Пример 3.**  $n = 1$ ,  $h : q \mapsto (0, q, q)$ .  $\Gamma = h(D)$  – биссектриса угла  $\widehat{q\bar{z}}$ ,  $\pi(\Gamma) = \{q, q \in \mathbb{R}\}$ , так что проекция  $\pi_1\Gamma$  – график функции  $u = q$ , но  $\Gamma \neq \text{Gr}_1(u)$ , так как  $p \equiv 0 \neq u'(q) \equiv 1$ .

**Замечание 1.** Кривая  $q = z^3$  однозначно проектируется на ось  $q$ . Соответствующая функция (3) имеет вид  $\sqrt[3]{q}$ , то есть, недифференцируема, хотя и непрерывна. Такого рода эффекты также могут препятствовать представлению поверхности, вложенной в область 1-струй, в виде 1-графика.

Пусть задана функция  $F : \mathcal{J}(D) \rightarrow \mathbb{R}$ , и

$$\mathcal{E} = F^{-1}(0) = \{(p, q, z) : F(p, q, z) = 0.\} \quad (5)$$

Предположим, что

$$F_z^2(J) + F_p^2(J) \neq 0 \quad \forall J = (p, q, z) \in \mathcal{E}. \quad (6)$$

**Замечание 1.** Предположение (6) необходимо для существования гладкой функции (3) в окрестности точки  $\pi(J)$ .

# Теорема об 1-графике и решение УрЧП 1-го порядка

**Теорема 1.** Пусть контактная функция  $F$  определяет характеристический поток  $f(\cdot, s) : \mathcal{E} \rightarrow \mathcal{E}$ ,  $|s| < t_0$ . Пусть множество  $\Gamma \subset \mathcal{E}$  обладает следующими свойствами (i)  $\Gamma$  инвариантно относительно  $f(\cdot, s)$ , так что  $f(\cdot, s) : \Gamma \rightarrow \Gamma \forall s : |s| < s_0$ ; (ii) проекция  $\pi : \Gamma \rightarrow D$  взаимно однозначна и функция  $u$ , определённая в (3), непрерывно дифференцируема. Тогда множество  $\Gamma \cap Gr_1(u)$  также инвариантно:  $f(\cdot, s) : \Gamma \cap Gr_1(u) \rightarrow \Gamma \cap Gr_1(u), \forall t : |t| < s_0$ .

Доказательство отложим.

Идея применения теоремы 1 к решению нелинейных УрЧП порядка 1 такова. Пусть  $n = 2$ , так что  $D \subset \mathbb{R}^2$ .

**Определение 1.** Множество  $\Sigma_{S,\varphi} \subset \mathcal{E}$  назовём начальным интегральным многообразием уравнения  $\mathcal{E}$ , если найдутся функция  $\varphi : D \rightarrow \mathbb{R}$  и кривая  $S \subset D$ , такие, что  $\Sigma_{S,\varphi} = Gr_1(\varphi) \cap \mathcal{E}$  и  $S = \pi(\Sigma)$ .

Пусть  $\Sigma_{S,\varphi}$  – начальное интегральное многообразие уравнения  $\mathcal{E}$ , рассмотрим множество  $\Gamma = \bigcup_s f(\Sigma_{S,\varphi}, s) \subset \mathcal{E}$  (рис. 2).

$\Gamma$  удовлетворяет условию (i) теоремы 1, предположим оно удовлетворяет и условию (ii) этой теоремы. Тогда  $\Gamma = Gr_1(u) \subset \mathcal{E}$ , где  $u$  – функция (3)  $\implies u$  – решение.

# Структура 1-графика решения

**Замечание 2.** Чтобы провести указанное построение, нужно, чтобы  $\Gamma$  разбивалась на характеристические траектории, некасательно пересекающие начальную площадку  $\Sigma_{S,\varphi}$ , рис. 2. Если  $\chi$  – одна из таких траекторий, и  $\tilde{J} \in \chi$ , то

$$u(\pi(\tilde{J})) = z(f(J, \tau)), \quad J = \chi \cap \Sigma_{S,\varphi} = (\nabla\varphi(q), q, \varphi(q)), \quad q \in S, \tau : f(J, \tau) = \tilde{J}.$$

При этом  $u = \varphi$  и  $\nabla u = \nabla\varphi$  на  $S$ .

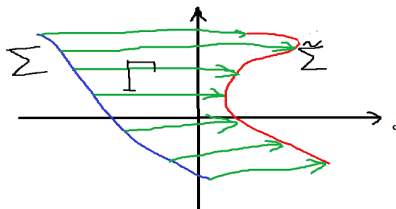


Рис. : 2. Устройство множества  $\Gamma$ . Синим изображено начальное интегральное многообразие  $\Sigma$ . Зелёным изображены траектории характеристического потока. Они заметают 1-график функции, то есть, интегральное и одновременно лежандрово многообразие

# Линейное уравнение с нелинейной точки зрения

**Пример 4 – транспортное уравнение  $\alpha(x, y)u_x + \beta(x, y)u_y = 0$ .** Имеем  $q = (x, y)$ ,  $p = (p^x, p^y)$ ,  $\mathcal{E} = \{\alpha p^x + \beta p^y = 0\}$ , Пусть задано интегральное многообразие  $\Sigma_{S, \varphi} = \cup_{q \in S} \{(\nabla \varphi(q), q, \varphi(q))\}$ , где  $S = \{\Phi(q) = 0\}$ . Рассмотрим площадку  $\Gamma$ , заметённую образами  $\Sigma_{S, \varphi}$  при её переносе характеристическим потоком  $f$ . Выберем точку  $\tilde{J} \in \Gamma$ , и пусть  $\pi(\tilde{J}) = (x, y)$ . и соединим  $\tilde{J}$  с  $J = \chi \cap \Sigma_{S, \varphi}$  характеристической траекторией  $\chi$ . Общий вид характеристической системы транспортного уравнения с источником указан в примере 5 лекции 2, где в рассматриваемом случае следует положить  $\gamma = 0$ . Тогда  $z \equiv \text{const}$  на  $\chi$  (что установлено ещё в лемме 1 лекции 1). Если при этом равенство (3) определяет функцию  $u$ , то

$$u(x, y) = u(\pi(\tilde{J})) = z(\tilde{J}) = z(J) = \varphi(X, Y), \quad \pi(J) = (X, Y) \in S,$$

причём  $(x, y)$  и  $(X, Y)$  соединяет характеристика  $\pi(\chi)$ . Осталось найти эту характеристику и выразить  $X, Y$  через  $(x, y)$ . С этой целью отделяем уравнения характеристик  $X' = \alpha(X, Y)$ ,  $Y' = \beta(X, Y)$  от характеристической системы (лекция 2, пример 5), находим параметрическое выражение  $(X, Y) = (X, Y)(s)$  или первый интеграл  $G(X, Y) = \text{const}$ , и далее следуем схемам, указанным в лекциях 1 или 2, соответственно.

# Линейная задача Коши с нелинейной точки зрения.

Пусть  $S$ ,  $\psi = \psi(q)$  – заданные кривая и функция. Положим

$$\text{Gr}(\psi, S) = \{(q, \psi(q)), q \in S\}. \quad (7)$$

Далее НИМ=начальное интегральное многообразие

**Определение 1.** Поднятием графика  $\text{Gr}(\psi, S)$  в УрЧП  $\mathcal{E}$  порядка 1 назовём НИМ  $\Sigma_{S, \varphi}$  уравнения  $\mathcal{E}$ , такое что  $\pi_1(\Sigma_{S, \varphi}) = \text{Gr}(\psi, S)$ ; другими словами,  $\varphi = \psi$  на  $S$ .

**Пример 5 – задача Коши для транспортного уравнения**  $\alpha(x, y)u_x + \beta(x, y)u_y = 0$ .

Предположим, известно поднятие некоторого графика  $\text{Gr}(\psi, S)$  в

$\mathcal{E} = \{\alpha p^x + \beta p^y = 0\}$ . Тогда применение общей процедуры приводит к алгоритму решения задачи Коши для транспортного уравнения, изложенному в лекции 1, см. также пример 5 лекции 2, где данные  $\psi, S$  взяты за начальные. Этот алгоритм непосредственно использует ТОЛЬКО значения  $\psi$  на  $S$ . Отсюда вывод: **при вычислении решения задачи Коши для транспортного уравнения с данными  $S, \psi$  непосредственно используется только  $\text{Gr}(\psi, S)$ , но НЕ конкретное выражение его поднятия в уравнение.**

Однако, связь между общей нелинейной конструкцией и методом лекции 1 должна быть изучена. С этой целью рассмотрим построение поднятия 1-графика начальных данных в транспортное уравнение.



# Поднятие начальных данных в транспортное уравнение

Пусть  $S = \{\Phi(q) = 0\}$ . Поднятие  $\Sigma_{S,\varphi}$  ищем в виде

$$\Sigma_{S,\varphi} = \{(p, q, z) : q \in S, p = \nabla\psi(q) + \lambda\nabla\Phi(q), z = \psi(q)\}. \quad (8)$$

где  $\lambda$  находим из условия  $\Sigma_{S,\varphi} \subset \mathcal{E}$ ; в нашем случае приходим к уравнениям

$$\alpha(\psi_x + \lambda\Phi_x) + \beta(\psi_y + \lambda\Phi_y) = 0, \quad \forall (x, y) \in S = \{\Phi(x, y) = 0\}. \quad (9)$$

$$(9) \implies \lambda = -(\alpha\psi_x + \beta\psi_y)(\alpha\Phi_x + \beta\Phi_y)^{-1}, \quad (x, y) \in S = \{\Phi(x, y) = 0\}. \quad (10)$$

Таким образом,  $\lambda$  определена в окрестности любой точки  $q \in S$  такой, что

$$(\alpha\Phi_x + \beta\Phi_y)(q) \neq 0. \quad (11)$$

Условие (11) означает, что траектории характеристического потока проходящие через точки множества  $\pi^{-1}(q)$  проектируются в характеристику, не касательную к  $S$ . В лекции 1 точки начальной кривой, удовлетворяющие этому условию названы нехарактеристическими (определение 1). Требование нехарактеристичности существенно. (См. пример 3, определение 4 и теорему 1 в лекции 1).

После того, как значения  $\lambda$  в точках кривой  $S$  найдены, остается найти функцию  $\varphi : \text{Gr}_1(\varphi) \supset$  множество (8); или, подробнее,

$$\varphi : \varphi = \psi, \quad \nabla\varphi = \nabla\psi + \lambda\nabla\Phi \text{ на } S. \quad (12)$$

Тогда НИМ  $\Sigma_{S,\varphi}$  – искомое поднятие.

# Общее решение уравнения Хопфа

Существование функции, удовлетворяющей (12) при заданной  $\lambda$  есть следствие одной общей теоремы анализа (теорема Уитни о продолжении). На доказательстве не останавливаемся.

Итак, поднятие в транспортное уравнение определено для графика ограничения начальной функции на окрестность любой нехарактеристической точки начальной кривой.

**Замечание 3.** Всё выводы, сделанные при разборе примеров 4 и 5, верны в случае транспортного уравнения с общим нелинейным источником.

**Пример 6 – интегрирование уравнения Хопфа  $u_t + uu_x = 0$ .** Имеем  $q = (x, t), p = (p^x, p^t), \mathcal{E} = \{p^t + zp^x = 0\}$ , Пусть  $\Sigma_{S, \varphi} = \cup_{q \in S} \{(\nabla \varphi(q), q, \varphi(q))\}$  – НИМ уравнения  $\mathcal{E}$ , и  $S = \{\Phi(q) = 0\}$ . Рассмотрим площадку  $\Gamma$ , заметённую образами  $\Sigma_{S, \varphi}$  при её переносе характеристическим потоком  $f$  уравнения Хопфа. Выберем точку  $\tilde{J} \in \Gamma$ , и пусть  $\pi(\tilde{J}) = (x, t)$ , и соединим  $\tilde{J}$  с  $J = \chi \cap \Sigma_{S, \varphi}$  характеристической траекторией  $\chi$ . В силу характеристической системы уравнения Хопфа (пример 6 лекции 2),  $z \equiv \text{const}$  на  $\chi$ . Если при этом равенство (3) определяет функцию  $u$ , то

$$u(x, y) = u(\pi(\tilde{J})) = z(\tilde{J}) = z(J) = \varphi(X, T), \quad \pi(J) = (X, T) \in S,$$

причём  $(x, t)$  и  $(X, T)$  соединяет характеристика  $\pi(\chi)$ .

# Столкновение характеристик и разрывы.

Осталось найти эту характеристику и выразить  $X, T$  через  $(x, t)$ . С этой целью решаем уравнения

$$\Phi(X, T) = 0, \quad X - x = u(T - t), \quad u = \varphi(X, T), \quad (13)$$

где второе уравнение определяет характеристику, соединяющую точки  $(x, t)$  и  $(X, T) \in S = \{\Phi(X, T) = 0\}$  (лекция 2, пример 6).

Пусть  $(u, X, T)$  выражены через  $(x, t)$  из уравнений (13) для всех  $(x, t)$  из некоторой области  $D_0$ , замечённой характеристиками, проходящими через  $S$ . Тогда  $u(x, t)$  – значение решения в точке  $(x, t) \in D_0$ .

Таким образом, уравнение Хопфа *проинтегрировано*, то есть, сведено к функциональным (не содержащим производных неизвестных функций) уравнениям (13).

**Замечание 3.** Построенное решение может быть непродолжаемо вне области  $D_0$  из-за возникновения разрывов решения в точках пересечения характеристик. Так как направление характеристики зависит от значения решения на ней, характеристики «начинающиеся» в разных точках  $S$ , могут пересечься в некоторой точке вне  $S$ . Если они несут разные значения решения, то разрыв решения в точке их пересечения неизбежен.




# Задача Коши для уравнения Хопфа.

**Пример 7 – задача Коши для уравнения Хопфа**  $u_t + uu_x = 0$ . При вычислении решения задачи Коши для уравнения Хопфа с начальным условием  $u = \psi$  на  $S$  непосредственно используются только данные Коши: решение задачи Коши можно найти из уравнений (13), причём второе из них следует записать, заменяя  $\varphi$  на  $\psi$ . Рассмотрим начальные условия  $u|_{x=0} = \psi(t)$ . В этом случае  $\Phi(x, t) = x$ , и уравнения (13) примут вид

$$X = 0, \quad X - x = u(T - t), \quad u = \psi(T).$$

Следовательно,  $T(x, t) = t - x/u$ , и решение  $u$  неявно задано уравнением

$$u = \psi(t - x/u), \quad \psi(t) \neq 0, \quad t \in \mathbb{R}.$$

Отсюда видно, что интервал значений  $u$  не шире интервала значений  $\psi$ ; в частности, если  $\psi$  нигде не обращается в нуль, то и  $u$  нигде не обращается в нуль, и имеет тот же знак, что и  $\psi$ . Если  $\exists T_0 : \psi(T_0) = 0$ , задача Коши может не иметь решения в окрестности точки  $(0, T_0)$ , так как выражение  $T(x, t)$  не определено при  $u = \psi(T_0) = 0$ . 

Для обоснования сведения задачи Коши для уравнения Хопфа к уравнениям (13) нужно в общем виде построить поднятие графика начальных данных в уравнение.

# Поднятие данных Коши в уравнение Хопфа

Поднятие ищем в виде (8), но  $\lambda$  теперь находим из уравнения

$$\psi_t + \lambda \Phi_t + \psi(\psi_x + \lambda \Phi_x) = 0, \quad \forall (x, t) \in S = \{\Phi(x, t) = 0\}. \quad (14)$$

$$(14) \implies \lambda = -(\psi_t + \psi \psi_x)(\Phi_t + \psi \Phi_x)^{-1}, \quad (x, t) \in S = \{\Phi(x, t) = 0\}. \quad (15)$$

Таким образом,  $\lambda$  определена в окрестности любой точки  $q \in S$  такой, что

$$\Phi_t(q) + \psi(q)\Phi_x(q) \neq 0 \quad (16)$$

Пусть все точки  $S$  удовлетворяют (16) при данной  $\psi$ . Тогда  $Gr(\psi, S)$  можно поднять в уравнение Хопфа аналогично тому, как это было сделано в случае транспортного уравнения (пример 6). Вывод: **поднятие в уравнение Хопфа определено для графика ограничения начальной функции на окрестность точки начальной кривой, нехарактеристической в смысле условия (16).**

В случае начального условия  $u|_{x=0} = \psi(t)$  условие (16) сводится к  $\psi(t) \neq 0$ .

Условие (16) аналогично условию поднятия в транспортное уравнение, см. (11). Однако, (16) означает, что траектории характеристического потока проходящие через точки множества  $\pi_1^{-1}(q, \psi(q))$  проектируются в характеристику, не касательную к  $S$ , а (11) означает то же самое, но для всех точек из  $\pi^{-1}(q)$ . Зависимость от значений начальной функции – новая черта условия (16).

# Интегрирование уравнения эйконала

**Определение 2.** Уравнением эйконала называется вполне нелинейное уравнение  $(\nabla u)^2 + \Pi(q) = \Pi_0$ , где  $\Pi$  – заданная функция, и  $\Pi_0 = \text{const}$ . Предполагается, что константа  $\Pi_0$  выбрана так, что

$$\mathcal{E} = \{(p, q, z) : p^2 + \Pi(q) = \Pi_0\} \neq \emptyset \text{ и } p^2 + (\nabla \Pi)^2(q) \neq 0 \text{ на } \mathcal{E}. \quad (17)$$

Рассматривается также и более общее уравнение, в котором  $p^2$  заменено на  $(p, A(q)p)$ , где  $A(q)$  – положительно-определённая матрица.

**Пример 8 – интегрирование простейшего уравнения эйконала** Рассмотрим уравнение  $u_x^2/2 + u_y^2/2 - 1 = 0$ , так что

$$\mathcal{E} = \{(p, q, z) : p^2 = 1\}, \quad p = (p^x, p^y) \in \mathbb{R}^2, \quad q = (x, y) \in \mathbb{R}^2. \quad (17')$$

**Характеристическая система и поток имеют вид**

$$P^2 = 1, \quad \dot{Q} = 2P, \quad \dot{P} = 0, \quad \dot{Z} = 2P^2, \quad Q = (X, Y), \quad P = (P^x, P^y); \quad (18)$$

$$f(\cdot, \sigma) : (p, q, z) \mapsto (p, q + p\sigma, p^2\sigma); \quad (19)$$

Пусть задано НИМ  $\Sigma_{S, \varphi}$ , где  $S = \{\Phi(q) = 0\}$ . Рассмотрим площадку  $\Gamma$ , замётённую образами  $\Sigma_{S, \varphi}$  при её переносе характеристическим потоком (19). Выберем точку  $\tilde{J} = (p, q, z) \in \Gamma$ , и соединим  $\tilde{J}$  с  $J = (P, Q, Z) = \chi \cap \Sigma_{S, \varphi}$  характеристической траекторией  $\chi$ . Тогда, в силу (19),

# Задача Коши для уравнения эйконала

$$p = \nabla\varphi(Q) = P, \quad Q = q + 2p\sigma, \quad Z = \varphi(Q) = z + 2p^2\sigma, \quad \Phi(Q) = 0. \quad (20)$$

Если при этом равенство (3) определяет функцию  $u$ , то  $u = z(q)$ , где  $z(q)$  выражено из уравнений (20) (эта система сводится к четырём уравнениям с шестью неизвестными  $q, Q, z, \sigma$ ;  $Q, z, \sigma$  нужно выразить через  $q$ .)

**Замечание 4.** Характеристиками уравнения эйконала прямые, параметризованные отображением  $Q = q + \sigma p$ . В отличие от уравнения Хопфа, их направления зависят от  $p$ , а не от  $z$ .

**Пример 9** – интегрирование задачи Коши для уравнения эйконала с физически естественным начальным условием  $u|_S = 0$ , где  $S = \{\Phi(q) = 0\}$ . Поднимаем  $\text{Gr}(0, S)$  в уравнение эйконала. Ищем НИМ (8), где полагаем  $\psi = 0$ . Получаем уравнение  $\lambda^2(\nabla\Phi)^2 = 1$ , и два НИМ

$$\Sigma_{0,S}^{\pm} = \{(\pm\mathbf{n}(Q), Q, 0), \quad Q = (X, Y) \in S\}, \quad \mathbf{n}(Q) = \nabla\Phi(Q)/|\nabla\Phi(Q)|. \quad (21)$$

Сдвиги НИМ  $\Sigma_{0,S}^{\pm}$  вдоль потока (19) замечают лежандрово многообразие

$$\Gamma^{\pm} = \{(p, q, z) = (\pm\mathbf{n}(Q), Q \pm 2\tau\mathbf{n}(Q), 2\tau), \quad \tau \in \mathbb{R}, \quad Q \in S\}. \quad (22)$$

Отсюда ответ:

# Разрывы и столкновение характеристик

задача Коши для уравнения эйконала имеет не менее двух решений

$$u(q) = \pm z, \quad z : q = Q + zn(Q), \quad \Phi(Q) = 0. \quad (23)$$

В случае  $S = \{(x, y) : y = 0\}$  имеем  $Q = (X, 0), n(Q) = (0, 1), q = (x, y) = (X, \pm z), z = \pm y, u^\pm = \pm y$ .

В случае  $S = \{x^2 + y^2 = 1\}$  имеем  $n(Q) = Q = (X, Y), (x, y) = (X, Y) + z(X, Y), X = x/(1+z), Y = y/(1+z) \implies x^2 + y^2 = (1+z)^2$ . Отсюда  $\pm(1+z) = \pm\rho, \rho = \sqrt{x^2 + y^2}$ , и, с учётом начального условия,  $\pm u = 1 - \rho$ . Полученные решения определены вне произвольной окрестности начала.

Из (21-22) следует, что характеристика, проходящая через точку  $Q$  кривой  $S$ , совпадает с нормалью к этой кривой. Нормали к  $S$  в точках  $Q_1 \neq Q_2$ , вообще говоря, пересекаются в некоторой точке

$$q_* : q_* = Q_1 + \delta_* n_1 = Q_2 + \delta_* n_2, \quad n_{1,2} = n(Q_{1,2}). \quad (24)$$

(объяснение равенства  $|q_* - Q_1| = |q_* - Q_2|$  пока отложим). Поэтому

$$\pi^{-1}(q_*) \supset \{(\pm n_1, q_*, \pm \delta_*), (\pm n_2, q_*, \pm \delta_*)\} \subset \Gamma^\pm,$$

то есть, каноническая проекция  $\Gamma^\pm \rightarrow D$  при  $|\tau| \geq |\delta_*|/2$  заведомо необратима, так что решения (23) определены лишь в достаточно узкой полоске, прилегающей к  $S$ .



# Функция расстояния и эквидистанты

**Замечание 5.** В отличие от уравнения Хопфа, пересекающиеся характеристики приносят в точку пересечения одинаковые значения  $z$ , но разные значения  $\rho$ : из точек  $Q_1$  сносится вектор  $\mathbf{n}_1$ , а из  $Q_2$  – вектор  $\mathbf{n}_2 \neq \mathbf{n}_1$ .

**Определение 2.** Пусть  $K \subset \mathbb{R}^m$ ,  $\text{dist}(s, K) \stackrel{\text{def}}{=} \inf\{|s - t|, t \in K\}$ .

Пусть  $D \subset \mathbb{R}^n$  – область,  $S = \partial D$ . Положим  $D_\rho = \{s \in D : \text{dist}(s, S) \leq \rho\}$ ,  $\delta_S(s) = \text{dist}(s, S)$ ,  $s \in D$ ,  $\mathbf{n}(t) = \nabla\Phi(t)/|\nabla\Phi(t)|$ ,  $t \in S$ .

**Пример 10.** Пусть  $q$  точка единичного круга радиуса 1. Проведём через неё диаметр. Его конец, ближний к  $q$ , – ближайшая к  $q$  точка граничной окружности. Эта точка единственна, если  $q$  не в центре. Пусть  $q$  сдвигается вдоль диаметра к центру круга. Когда  $q$  пройдёт центр, ближайшая к ней точка окружности «перепрыгнет» на противоположный конец диаметра.

**Лемма 1.** Пусть  $\ell \in \mathbb{N}$ ,  $\ell \geq 2$ ,  $\Phi \in C^\ell(\mathbb{R}^n)$ ,  $D = \{s : \Phi(s) > 0\}$  – область,  $S = \partial D = \{s \in \mathbb{R}^n : \Phi(s) = 0, \nabla\Phi(s) \neq 0\}$  – компакт. Тогда найдётся  $\exists \rho > 0$  такое, что (i)  $\forall s \in D_\rho \exists! t : |s - t| = \delta_S(s)$ ; (ii)  $s = t + \delta(s)\mathbf{n}(t)$ ; (iii) отображение  $P_S : s \mapsto t$  принадлежит  $C^{\ell-1}(D_\rho)$ , и функция  $\delta \in C^\ell(S_\rho)$ , причём  $\nabla\delta(s) = \mathbf{n}(t)$ .

**Определение 3.** Множество  $S_\sigma = \{t + \sigma\mathbf{n}(t), t \in S\}$  называется эквидистантой  $S$ .

По лемме 1,  $S_\sigma$  представляет собой линию уровня  $\{\delta_S(s) = \sigma\}$ .

# Каустики и волновые фронты

Решения (23) совпадают с  $\delta_S$  с точностью до знака; в частности линии уровня  $\{u(q) = z\} = S_z$ .

В случае общего положения, существует критическое расстояние  $\delta_*$ , такое, что разные нормали к  $S$  не пересекаются в  $D_\sigma$  при  $\sigma < \delta_*$ , и пересекаются в  $D_\sigma$  при  $\sigma > \delta_*$ . Критическая эквидистанта  $S_{\delta_*}$  содержит хотя бы одну точку пересечения нормалей (т.е. точку  $q_*$  вида (24)), которая равноудалена от нескольких точек границы. В этой точке происходит разрыв решения (23), а на самой эквидистанте возникает особенность типа острия. При  $\sigma > \delta_*$  на  $S_\sigma$  появляются точки, удалённые от  $S$  на расстояние, меньшее  $\sigma$ , и сохраняются острия. С ростом  $\sigma$  эти острия заметают некоторые кривые, называемые *каустиками*.



Рассмотрим задачу Коши для некоторого УрЧП  $\mathcal{E}$  порядка 1 с данными  $S, \varphi$ . Пусть НИМ  $\Sigma_{S, \varphi}$  – поднятие  $\text{Gr}(\varphi, S)$  в  $\mathcal{E}$ . Рассмотрим «лежандрово многообразие»  $\Gamma$ , заметаемое  $\Sigma_{S, \varphi}$  при его переносе характеристическим потоком уравнения  $\mathcal{E}$ .

**Определение 4.** *Волновой фронт лежандрова многообразия  $\Gamma$  – образ  $\pi\Gamma$  множества  $\Gamma$  при канонической проекции.*

**Определение 4.** *Волновой фронт (физический) – образ  $\pi f(\Sigma_{\varphi, S}, \tau)$  при канонической проекции.*

Волновые фронты (физические) уравнения эйконала (17') – эквидистанты начальной поверхности.

# Формализация понятия каустики

Начальную кривую  $S$  можно интерпретировать как начальное положение физического волнового фронта. Прочие волновые фронты получаются сдвигом вдоль характеристик, пересекающих начальный фронт. Последние называют «лучами». В случае уравнения (17'), лучи – нормали к начальному фронту.

При столкновении лучей решение задачи Коши терпит разрыв, а на физическом волновом фронте может возникнуть острие. При этом с лежандровым многообразием ничего особенного не происходит, и его волновой фронт (в смысле определения 4) может накрыть область, значительно большую, чем та, в которой определено решение задачи Коши.

Особенности (острия и т.д.) физических волновых фронтов и разрывы решения задачи Коши связаны с неоднозначностью канонической проекции лежандрова многообразия на свой волновой фронт.

**Определение 6.** Каустикой волнового фронта лежандрова многообразия  $\Gamma \subset \mathcal{J}(D)$  называется множество критических значений канонической проекции  $\pi : \Gamma \rightarrow D$ .

**Определение 7.** Точка  $x \in \mathbb{R}^n$  называется критической для отображения  $g \in C^1(\mathbb{R}^n, \mathbb{R}^m)$ , если ранг матрицы Якоби  $g'(x)$  не максимален (т.е.  $< \min(m, n)$ ). Образ  $y = f(x)$  критической точки  $x$  называется критическим значением отображения  $f$ .

# Критические точки и значения

**Пример 11.** Матрица Якоби отображения  $g : \mathbb{R}^n \rightarrow \mathbb{R}$ ,  $x \mapsto g(x)$  – строка  $g_{x_1} \dots g_{x_n}$ . Следовательно, критическими следует признать точки, в которых все частные производные функции  $g = g(x)$  равны нулю. Матрица Якоби отображения  $g : \mathbb{R} \rightarrow \mathbb{R}^n$ ,  $t \mapsto (g_1 \dots g_n)$  – столбец  $g_{1t} \dots g_{nt}$ . Следовательно, критическими следует признать точки, в которых производные всех координат  $g_i$ ,  $i = 1..n$ , по  $t$  равны нулю.

Пусть  $\Lambda \subset \mathbb{R}^n$  и  $g \in C^1(\mathbb{R}^n, \mathbb{R}^m)$ .

**Определение 8.** Точка  $x \in \Lambda$  называется критической для отображения  $g : \Lambda \rightarrow \mathbb{R}^m$ , а точка  $y = g(x)$  – критическим значением, если найдётся окрестность  $\mathcal{U}_x \subset \mathbb{R}^m$  точки  $x$ , область  $\Omega \subset \mathbb{R}^k$  и  $h \in C^1(\Omega, \mathcal{U}_x)$  такие, что (i)  $h(\Omega) = \Lambda \cap \mathcal{U}_x$ ; отображение  $h : \Omega \rightarrow \Lambda \cap \mathcal{U}_x$  обратимо и обратное отображение непрерывно; точки  $\Lambda \cap \mathcal{U}_x$  – некритические значения  $h$ ; (ii) точка  $y = f(x)$  – критическое значение  $f \circ h$ .

**Пример 12.**  $g : (x, y) \rightarrow y$ ,  $(x, y) \in \mathbb{R}^2$ ,  $\Lambda = \{(x, x^p)\}$ ,  $p \in \mathbb{N}$ ,  $h : x \mapsto (x, x^p)$ ,  $g \circ h : x \mapsto x^p$ . Следовательно, при  $p > 1$ ,  $(0, 0) \in \Lambda$  и  $0 = g(0, 0)$  – критическая точка и значение  $g : \Lambda \rightarrow \mathbb{R}$ .

**Замечание 6.** Понятие критической точки отображения  $g : \Lambda \rightarrow \mathbb{R}^m$  невозможно сформулировать, не имея «параметризующего» отображения  $h$ . В выборе  $h$  есть произвол, но можно показать, что критичность  $x \in \Lambda$  не зависит от выбора  $h$ .

# Вычисление каустик

Вычисляем каустики волнового фронта лежандрова многообразия (22) уравнения эйконала (17').

Пусть  $r : s \mapsto (x(s), y(s))$ ,  $s \in \mathbb{R}$  параметризует  $S$ ;  
тогда  $R : (s, t) \mapsto (x(s) + tn_1, y(s) + tn_2, n_1, n_2, t)$ ,  $n_{1,2} = n_{1,2}(r(s))$ , параметризует  $\Gamma$ ;  
тогда  $\pi \circ R : (s, t) \mapsto (x(s) + tn_1, y(s) + tn_2)$ .

Каустика волнового фронта  $\Gamma$  состоит из точек  $(x(s) + tn_1, y(s) + tn_2)$ , таких, что

$$\det \begin{pmatrix} n_1 & x' + tn_1' \\ n_2 & y' + tn_2' \end{pmatrix} = 0. \quad (25)$$

**Пример 12.** Пусть  $S = \{x^2 + y^2 = 1\}$ . Уравнение (25) примет вид

$$\det \begin{pmatrix} \cos(s) & -\sin(s) - t \sin(s) \\ \sin(s) & \cos(s) + t \cos(s) \end{pmatrix} = (1 + t) = 0.$$

Ответ: каустика совпадает с центром окружности  $S$ .



# Каустики и кривизны.

Уравнение(25) линейно по  $t$ . Из него находим

$$t = t_*(s) = -\frac{n_1 y' - n_2 x'}{n_1 n_2' - n_2 n_1'} = \frac{1}{\kappa(s)}$$

$\kappa(s)$  – кривизна кривой  $S$  в точке  $r(s)$ .

Функция  $t_*(s)$  определена во всех точках  $(x(s), y(s)) \in S : \kappa(s) \neq 0$ . Точки  $(x(s), y(s)) \in S : \kappa(s) = 0$  называются точками уплощения.

Каустика волнового фронта  $\Gamma$  параметризуется отображением  $s \mapsto (x(s) + t_*(s)n_1, y(s) + t_*(s)n_2)$ .

Итак, (i) из любой точки на  $(x(s), y(s)) \in S$ , за исключением точек уплощения, исходит луч  $s \mapsto (x(s) + tn_1, y(s) + tn_2)$  приводящий на каустику за время  $t_*(s) = \frac{1}{\kappa(s)}$ ;

(ii) лежандрово многообразии  $\Gamma$  однозначно проектируется на область  $D_{\delta_*}$ ,  $\delta_* = \frac{1}{\sup_S |\kappa|}$ .